# 人源 3βHSD1 结构的同源模建、化合物对接与相互作用分析

杨卓1

(1.中国科学院分子细胞科学卓越创新中心化学生物学技术平台,上海 200031)

**摘要:** 代谢酶 3βHSD1 介导了晚期前列腺癌药物耐受过程中的多种机制,是极具临床应用潜能的前列腺癌治疗靶点。通过同源模建构建了人源 3βHSD1 的结构,并以此为基础进行分子对接,确定了小分子化合物 biochanin A 与 3βHSD1 的相互作用模式,为理性设计化合物提供了研究思路。

关键词: 分子模拟; 同源模建; 分子对接; 诱导契合; 相互作用分析中图分类号: R914.2 文献标识码:

### 1 人源 3βHSD1 结构的同源模建

#### 1.1 序列比对

人源 3βHSD1 的结构目前还没有解析,需要同源模建。根据 Vladimir Z. Pletnev 等人的 研究[1],模板蛋白选用  $E.\ coli$  的 UDPGE (PDB ID:1NAH[2]) (N 端及 C 端结构)和人源 17-HSD (PDB ID: 1QYX[3]) (底物小分子周围区域),序列比对结果如图 1 所示。

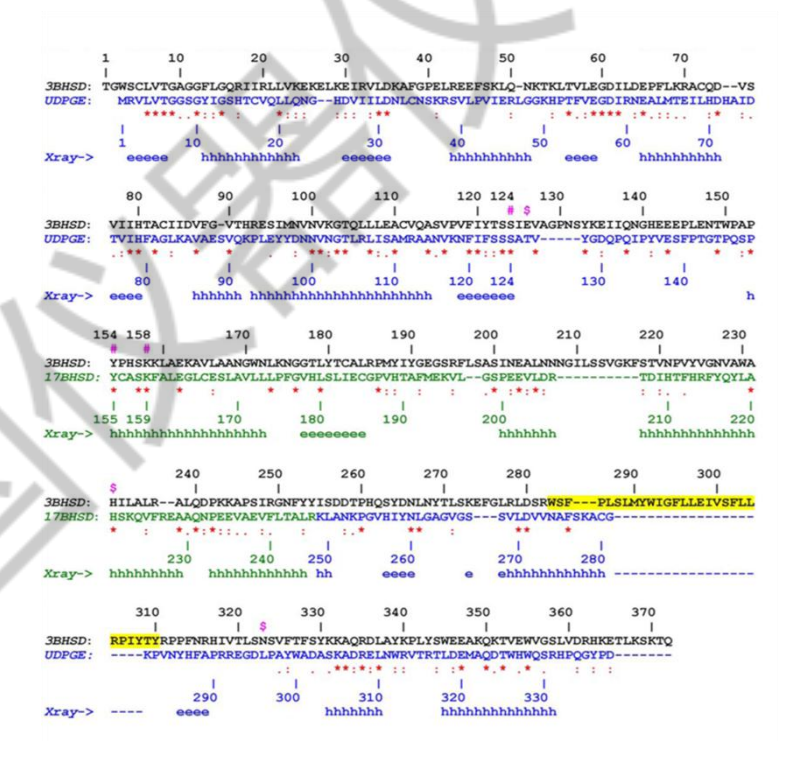


图 1 人源 3 β HSD1 与模板蛋白序列比对结果

#### 1.2 模板蛋白结构优化

因为模板蛋白为两个蛋白拼接而成,所以需要优化到合理的构象后才能作为模板进行同源模建。优化通过 Prime[4]完成,具体步骤如下:

- 1) 优化拼接处氨基酸残基;
- 2) 优化所有氢原子;
- 3) 优化 NAD 及底物小分子结合位点处氨基酸残基;
- 4) 优化蛋白侧链;
- 5) 优化整个蛋白-NAD-底物小分子复合物。

经过上述优化后的蛋白-NAD-底物小分子复合物结构如图 2 所示。

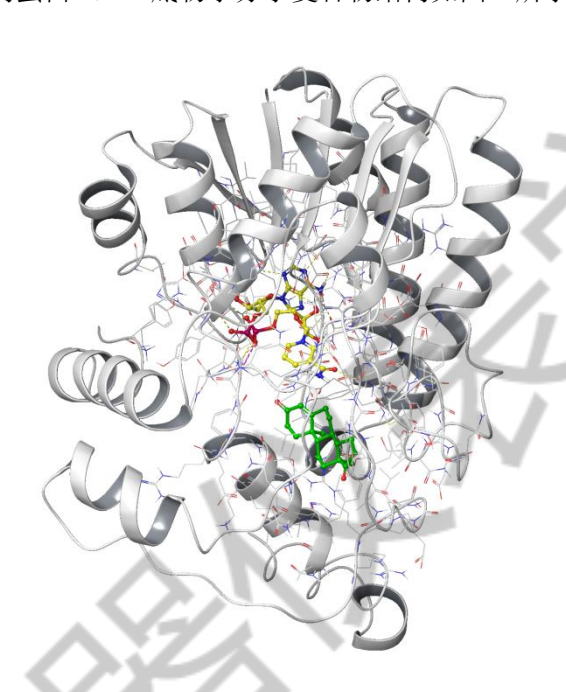


图 2 模板蛋白结构

#### 1.3 模型构建及优化

根据序列比对结果进行同源模建[4],并按以下步骤对模建的结构逐步优化:

- 1) 优化 loop 区;
- 2) 优化蛋白侧链;
- 3) 优化整个蛋白(包括 NAD 与 1QYX 中的底物小分子)

经过上述优化后的人源 3BHSD1-NAD-底物小分子复合物结构如图 3 所示。

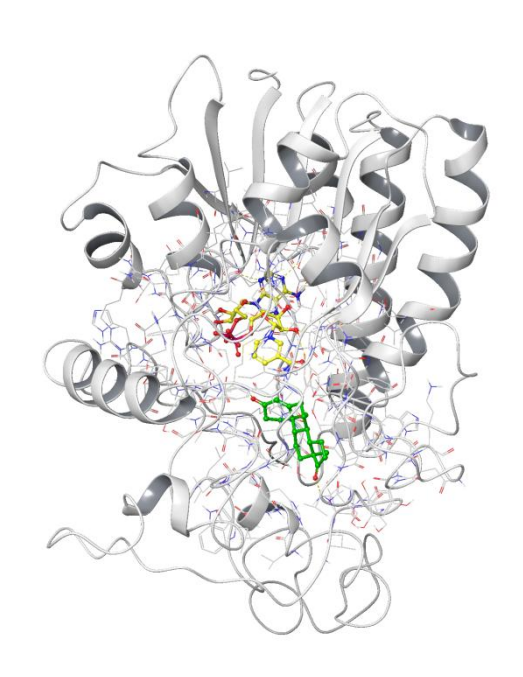


图 3 人源 3 β HSD1-NAD-底物小分子模建结构

## 2 化合物与 3βHSD1 的分子对接

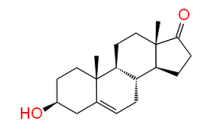
#### 2.1 受体蛋白与化合物结构准备

将优化后的人源 3βHSD1 结构经过 Protein Preparation Wizard[5]准备后作为分子对接用的受体结构。

用于对接的化合物及其结构见表 1。经过 LigPrep[6]准备,生成不同质子化状态、互变 异构体。

表 1 用于对接的化合物及其结构

	化合物	结构
	Corylin	но
	BiochaninA	HO OH O
P	regnenolone	HO



#### 2.2 诱导契合分子对接

因为同源模建得到的结构具有不确定性,所以采用诱导契合分子对接(Induced Fit Docking[7], IFD)更有可能得到合理的对接结果。

诱导契合分子对接以模型结构中底物小分子结合位点为中心,底物小分子周围 5Å 氨基酸残基可动,SP 精度进行。

## 3 化合物与 3βHSD1 的相互作用分析

#### 3.1 对接打分

化合物的对接打分及 IFD 打分见表 2.

化合物	对接打分	IFD 打分
Corylin	-9.469	-726.24
BiochaninA	-9.605	-726.25
Pregnenolone	-6.314	-722.53
DHEA	-6.593	-721.87

表 2 化合物的对接打分及 IFD 打分

由对接打分及 IFD 打分可见,biochanin A 与人源  $3\beta$ HSD1 的结合最强,符合生物测试实验结果。

### 3.2 化合物与 3βHSD1 相互作用示意图

Biochanin A 与 3βHSD1 的相互作用如图 4 所示。

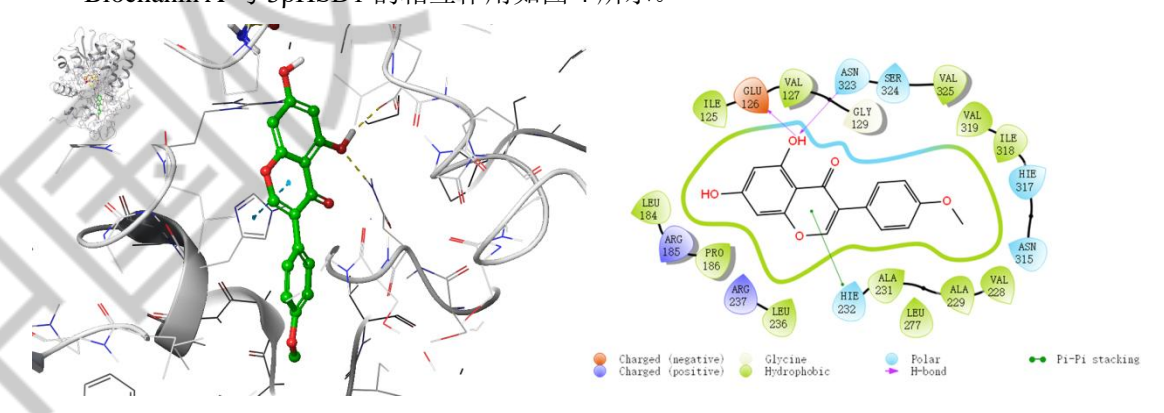


图 4 Biochanin A 结合示意图(3D: 黄色虚线: 氢键相互作用; 蓝色虚线: π-π 相互作用。2D 见图例。)

由相互作用示意图可以看出, biochanin A 与 3 $\beta$ HSD1 的 Glu126 以及 Asn323 形成了氢键相互作用,与 His232 形成了  $\pi$ - $\pi$  相互作用;后续的点突变实验也证实了,这三个氨基酸残基确实在 biochanin A 与 3 $\beta$ HSD1 的结合中起到非常重要的作用。

#### 4 成果发表

相关工作已发表: Hou Z, Huang S, Mei Z, *et al.* Inhibiting 3βHSD1 to eliminate the oncogenic effects of progesterone in prostate cancer[J]. Cell Rep Med. 2022, 3(3):100561.

#### 参考文献:

- [1]Pletnev VZ, Thomas JL, Rhaney FL, *et al.* Rational proteomics V: structure-based mutagenesis has revealed key residues responsible for substrate recognition and catalysis by the dehydrogenase and isomerase activities in human 3beta-hydroxysteroid dehydrogenase/isomerase type 1[J]. J Steroid Biochem Mol Biol. 2006, 101(1):50-60.
- [2]Thoden JB, Frey PA, Holden HM. Crystal structures of the oxidized and reduced forms of UDP-galactose 4-epimerase isolated from Escherichia coli[J]. Biochemistry. 1996, 35:2557–2566.
- [3]Shi R, Lin SX. Cofactor hydrogen bonding onto the protein main chain is conserved in the short chain dehydrogenase/reductase family and contributes to nicotinamide orientation[J]. J Biol Chem. 2004, 279:16778–16785.
- [4] Schrödinger Release 2021-1: Prime, Schrödinger, LLC, New York, NY, 2021.
- [5]Schrödinger Release 2021-1: Protein Preparation Wizard; Epik, Schrödinger, LLC, New York, NY, 2021; Impact, Schrödinger, LLC, New York, NY; Prime, Schrödinger, LLC, New York, NY, 2021.
- [6] Schrödinger Release 2021-1: LigPrep, Schrödinger, LLC, New York, NY, 2021.
- [7]Schrödinger Release 2021-1: Induced Fit Docking protocol; Glide, Schrödinger, LLC, New York, NY, 2021; Prime, Schrödinger, LLC, New York, NY, 2021.